§5.2 Teoremas fundamentales de integración de campos: panorama

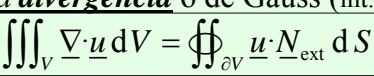
- •Generalizan la regla de Barrow (o T.F.C.) a las integrales de campos
- $f: \Omega \subset \mathbb{R} \to \mathbb{R}$ de clase $1 \Rightarrow \forall [a,b] \subset \Omega: \int_a^b f'(x) \, \mathrm{d} \, x = f(b) f(a)$ •Cada uno de los tres tipos de integrales deduce de ahí su fórmula integral:

$$\left| \int_C \nabla f \cdot d\underline{r} = f(B) - f(A) \right|$$

- •El <u>Teorema del gradiente</u> (o T.F.C. de las integrales de línea): $\underbrace{\int_C \nabla f \cdot \mathrm{d} \, \underline{r} = f(B) f(A) }_{\text{C}}$ con $f: \Omega = \mathrm{reg.} \subset \mathbb{E} \to \mathbb{R}$, c. esc. de $C^1(\Omega)$ $A, B = \mathrm{extremos}$ de $C = \mathrm{curv.reg.} \subset \Omega$
- •La fórmula integral de Green (o los T.F. en el plano)
- •El Teorema del rotacional o de Stokes (int. de superficie)

$$\iint_{S} (\nabla \times \underline{u}) \cdot \underline{N} \, dS = \oint_{\partial S} \underline{u} \cdot d\underline{r}$$

- con $\partial S = C = \text{curva cerr. reg.}$ (a trozos), borde del casquete de superficie S(simplemente conexo)
- •El Teorema de la divergencia o de Gauss (int. de volumen) $\frac{N_e}{N_e}$



con ∂V = superficie cerrada regular (a trozos), frontera de V, retráctil.

§5.2 a) Teor. fund. del cálculo para int. de línea

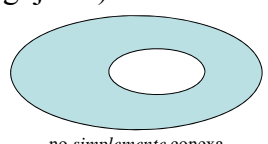
• Enunciado: Si f es campo escalar de clase 1 en una región $\Omega \subset \mathbb{E}_{3(62)}$, $\forall C$ curva reg. de extremos A y B contenida en Ω :

$$\int_{C} \nabla f \cdot d\underline{r} = f(B) - f(A)$$

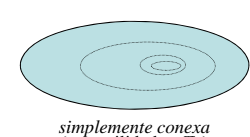
- •demostración: regla de la cadena $t \leftarrow f \rightarrow (x, y, z) \rightarrow t \Rightarrow \nabla f \cdot d\underline{r} = \dots$
- <u>Consecuencia</u>: los campos gradiente (campos vectoriales \underline{u} que derivan de un potencial escalar f, o sea, de la forma $\underline{u} = \nabla f$) son <u>campos conservativos</u>, o sea:
 - •independencia del camino de la integral de línea $\int_C \nabla f \cdot d\mathbf{r} = f(B) f(A) \Rightarrow$ sólo depende del valor de f en los extremos de C (curva reg.).
 - nota: si se sabe que $\underline{u} = \nabla f$ (*icontinuo*!) se puede deducir $f(X) = f(A) + \int_A^X \underline{u} \, d\underline{r}$ (indep. cam°.)
 - •circulación nula de ∇f (¡continuo!) a lo largo de curvas <u>cerradas</u>: $\nabla f \cdot d \underline{r} = 0$ Nota: ambas propiedades se dan simultáneamente (porque son equivalentes) y se dice que el campo <u>conserva</u> las integrales de línea o que es <u>conservativo</u>. Resulta pues: todo campo gradiente continuo en una región Ω de \mathbb{E} es conservativo en Ω .
- •Aplic. más import. en la T^a del potencial (§5.3). Cálculo de integrales de línea: Ej.: PR4.11b, PR4.2 (campo \underline{u} , sabiendo que $\underline{u} = \nabla f$ para un campo escalar f*obvio*; p.ej.: $\underline{u} = y \, \underline{\mathbf{i}} + x \, \underline{\mathbf{j}}$, $C = \text{una espira de la hélice de radio } R \, y \, \text{paso } p = 2\pi c$.

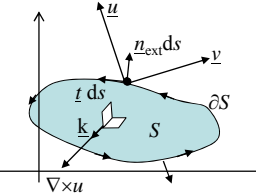
§5.2 b) Fórmula de Green y consecuencias en E₂

•def.: reg. plana simplemente conexa si su frontera es conexa (sin agujeros)



no simplemente conexa





N.: las curv. cerr. reg. $C \subset \Omega$ simpl. conexa encierran subregiones S simpl. conexas. En adelante se supone que las curvas cerradas se recorren en sentido antihorario (+)

•**Teorema** (de Green): Si Ω es una región de \mathbb{R}^2 y P(x,y), Q(x,y) son func. de $C^{l}(\Omega)$, entonces $\forall S$ región <u>simplemente conexa</u>, con $\partial S = C$ curva cerrada $\subset \Omega$, se verifica:

$$\iint_{S} \left(\frac{\partial Q}{\partial x} - \frac{\partial P}{\partial y} \right) dx dy = \oint_{\partial S} P dx + Q dy$$

demostración



Demostración de la fórmula de Green

Se demuestra en tres fases:

1. <u>Para rectángulos A</u> = [a, b]×[c, d] $\subset \mathbb{R}^2 \Rightarrow A = \{(x,y) : a \le x \le b, c \le y \le d\} \Rightarrow \partial A$ $= C_1 + C_2 + C_3 + C_4$, siendo:

 $C_1 = \{x = t, y = c; t \in [a, b]\} \Rightarrow \mathrm{d}x = \mathrm{d}t, \, \mathrm{d}y = 0; \, C_2 = \{x = b, y = t; t \in [c, d]\} \Rightarrow \mathrm{d}x = 0, \, \mathrm{d}y = \mathrm{d}t;$

 C_3 : $\{x=b-t+a, y=d; t \in [a, b]\} \Rightarrow dx = -dt, dy = 0; C_4$: $\{x=a, y=c-t+d; t \in [c, d]\} \Rightarrow dx=0, dy = -dt$ Así: i) $\iint_{A} \left(\frac{\partial q}{\partial x} - \frac{\partial p}{\partial y} \right) dx dy = \int_{c}^{d} \left[\int_{a}^{b} \frac{\partial q}{\partial x} dx \right] dy - \int_{a}^{b} \left[\int_{c}^{d} \frac{\partial p}{\partial y} dy \right] dx =$

$$= \int_{c}^{d} [q(b, y) - q(a, y)] dy - \int_{a}^{b} [p(x, d) - p(x, c)] dx$$

y ii):
$$\oint_{\partial A} p \, dx + q \, dy = \oint_{C_1} p \, dx + \oint_{C_2} q \, dy + \oint_{C_3} p \, dx + \oint_{C_4} q \, dy =$$

$$= \oint_a^b p(t,c) \, dt + \oint_c^d q(b,t) \, dt + \oint_a^b p(b-t+a,d)(-dt) + \oint_c^d q(a,d-t+c)(-dt) =$$

$$= \oint_a^b p(t,c) \, dt - \int_a^b p(b-t+a,d) \, dt + \oint_c^d q(b,t) \, dt - \oint_c^d q(a,d-t+c) \, dt$$

Resulta que las dos integrales de la fórmula conducen a las mismas integrales de Riemann y coinciden entre sí. Basta hacer un c. de var. en las dos integrales que están restando; por ejemplo, si t = b - x + a, entonces $\{dt = -dx; t = a \Rightarrow x = b, t = b \Rightarrow x = a\}$

$$a$$
}, luego $-\int_a^b p(b-t+a,d) dt = -\int_b^a p(x,d)(-dx) = -\int_a^b p(x,d) dx$

y es análogo con la otra integral que está restando.

2. <u>Para triángulos rectángulos con hipotenusa curvilínea monótona</u>, como con hipotenusa decreciente $y = \phi(x) \Leftrightarrow x = \psi(y)$) y análogos.

•La descripción analítica de los conjuntos y caminos de integración:

 $A = \{(x,y): a \leq x \leq b, c \leq y \leq \phi(x)\} = \{(x,y): a \leq x \leq \psi(y), c \leq y \leq d\} \implies \partial A = C_1 + C_2 + C_3,$ siendo:

$$C_1$$
: $\{x=t, y=c; t \in [a,b]\} \Rightarrow dx = dt, dy = 0;$

$$C_2$$
: $\{x=b-t+a, y = \phi(b-t+a); t \in [a, b]\} \Rightarrow dx = -dt, dy = -\phi'(b-t+a)dt$

o bien
$$C_2$$
: $\{x = \psi(t), y = t; t \in [c, d]\} \Rightarrow dx = \psi'(t)dt, dy = dt$

$$C_3$$
: $\{x=a, y=d-t+c; t \in [c, d]\} \Rightarrow dx = 0, dy = -dt$.

•Las integrales de la fórmula de Green se desarrollan como integrales de Riemann:

$$\iint_{A} \left(\frac{\partial q}{\partial x} - \frac{\partial p}{\partial y} \right) dx dy = \iint_{A} \frac{\partial q}{\partial x} dx dy - \iint_{A} \frac{\partial p}{\partial y} dx dy =$$

$$= \int_{c}^{d} \left[\int_{a}^{\psi(y)} \frac{\partial q}{\partial x} dx \right] dy - \int_{a}^{b} \left[\int_{c}^{\phi(x)} \frac{\partial p}{\partial y} dy \right] dx =$$

$$= \int_{c}^{d} \left[q(\psi(y), y) - q(a, y) \right] dy - \int_{a}^{b} \left[p(x, \phi(x)) - p(x, c) \right] dx;$$

$$\oint_{\partial A} p dx + q dy = \int_{C_{1}} p dx + q dy + \int_{C_{2}} p dx + \int_{C_{2}} q dy + \int_{C_{3}} p dx + q dy =$$

$$= \int_{a}^{b} p(t, c) dt + \int_{a}^{b} p(b - t + a, \phi(b - t + a)) dt + \int_{c}^{d} q(\psi(t), t) dt + \int_{c}^{d} q(a, d - t + c)(-dt)$$

Análogamente al caso anterior, las dos integrales de la fórmula conducen a las mismas integrales de Riemann, salvo un cambio de variables similar.

3. Las *regiones planas A simplemente conexas* se pueden descomponer (como sugiere la figura) en unión sin solapamientos de subregiones de alguno de los dos casos considerados hasta ahora, rectángulos o triángulos curvilíneos.

Se busca con ello que el borde ∂A se descomponga en arcos de curva que sean biyecciones $x \leftrightarrow y$, por lo que sirven de guía los puntos del mismo en que la tangente es paralela a alguno de los dos ejes X ó Y.

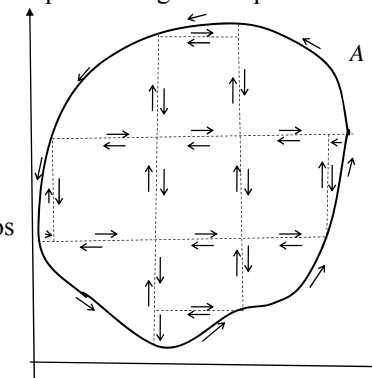
En cada subregión se puede aplicar la fórmula de Green, recorriendo su borde en sentido antihorario. Resultará que en el interior de *A* aparecen segmentos paralelos a los

ejes que deberán recorrerse dos veces en sentido contrario, cancelándose entre sí, de manera que :

$$\iint_{A} \left(\frac{\partial q}{\partial x} - \frac{\partial p}{\partial y} \right) dx dy = \sum_{i} \iint_{A_{i}} \left(\frac{\partial q}{\partial x} - \frac{\partial p}{\partial y} \right) dx dy =$$

$$= \sum_{i} \oint_{\partial A_{i}} p dx + q dy = \oint_{\partial A} p dx + q dy$$

Así el teorema se cumple también en estos recintos más generales.



•Versiones generalizadas a recintos múltiplemente conexos:

un corte entre las dos fronteras transforma el recinto doblte.. conexo de la figura, en simplte. conexo. Observar el sentido contrario en las fronteras y la cancelación en el borde cortado.

N.: se emplea la misma fórmula de Green en la versión generalizada, pero se entiende que ∂S se debe descomponer como suma de las dos curvas frontera, recorridas en sentido contrario (o la resta, si se recorren en el mismo sentido) y se cancela en el corte: $\partial S = C_1 + (-C_2)$

- Ejemplos: Aplicar las dos versiones vectoriales de fórm. de Green generalizada si: $\underline{u} = \underline{r}, C_1 = \{2x^2 + y^2 = 4\}, C_2 = \{x^2 + y^2 = 1\}.$
- •La versión generalizada permite reducir una integral sobre una curva "complicada" a otra más sencilla, si el rotacional (o la divergencia) son nulos o sencillos de integrar
- Versión vect. Fla. Green: si $\underline{u} := P(x,y)\underline{i} + Q(x,y)\underline{j}$ y $\underline{v} := Q\underline{i} P\underline{j}$:

$$\underbrace{\iint_{S} (\nabla \times \underline{u}) \cdot \underline{k} \, dS = \oint_{\partial S} \underline{u} \cdot d\underline{r}}_{\text{Teorema de Stokes en el plano}} ; \underbrace{\iint_{S} (\nabla \cdot \underline{v}) \, dS = \oint_{\partial S} \underline{v} \cdot \hat{\underline{n}}_{\text{ext}} \, dS}_{\text{Teorema de Gauss en el plano}}$$

porque:

$$\underline{\nabla} \times \underline{u} \cdot \underline{\mathbf{k}} = \partial_{x} Q - \partial_{y} P = \underline{\nabla} \cdot \underline{v}$$
;

y en toda curva cerr.: $\underline{n}_{\text{ext}} ds = dy \, \underline{\mathbf{i}} - dx \, \underline{\mathbf{j}} \, ; \, \underline{t} \, ds = dx \, \underline{\mathbf{i}} + dy \, \underline{\mathbf{j}}$

• Aplicaciones I (en la forma de Stokes en el plano \mathbb{E}_2)

•1) Cálculo de circulaciones mediante el flujo del rotacional (si conviene) a través (en el esp. contexto del plano \mathbb{E}_2) del recinto plano simplte. conexo encerrado por C: método de <u>intercambio de integrales</u>:

$$\int_{C=\partial S} \underline{u} \cdot d\underline{r} = \iint_{S} \underline{\nabla} \times \underline{u} \cdot \underline{k} \, dS$$

- •<u>Ejemplo</u>: Calcular $\int_C \underline{u} \cdot d\underline{r}$ si $\underline{u}(x,y) = (4x^2 + 3\text{seny})\underline{\mathbf{i}} + (3x\cos y + 4x)\underline{\mathbf{j}}$ y C =perímetro del paralelogramo $\{(0,0), (4,0), (5,2), (1,2)\}$.
- •Si C no es cerrada: mismo \underline{u} en C : $\{9x^2 + 4y^2 = 36; x > 0, y > 0\}$
- •Observación sobre el nº de vueltas que ciertas curvas dan a la misma trayectoria.
- •2) Cálculo de áreas de regiones planas simplemente conexas S mediante *circulación* por su borde (∂S, curva cerrada reg. (a trozos)) del campo vec. auxiliar $\underline{A} := \frac{1}{2}(-y\underline{\mathbf{i}} + x\underline{\mathbf{j}}) / \underline{\nabla} \times \underline{A} = \underline{\mathbf{k}} \text{ (luego } \underline{\nabla} \times \underline{A} \cdot \underline{\mathbf{k}} = 1)$

Area(S) =
$$\iint_S 1 dS = \frac{1}{2} \oint_{\partial S} (-y dx + x dy) = \oint_{\partial S} \underline{A} \cdot d\underline{r}$$

- •Ejemplos: 1) área de una elipse de semiejes a, b aplicando la fórmula de Green (Stokes):
- •2) área encerrada por $\{\rho = 3 | sen 2\theta | \}$ (rosa de 4 pétalos)

• Aplicaciones II (en la forma de Gauss)

- •1) <u>cálculo de flujos planos</u> o integrales de línea de *comptes. normales* de campos planos: $\Phi_{pl}(\underline{u}; C) := \int_{C} \underline{u} \cdot \underline{n} \, ds$ (intercambio de integrales):
 - •si C es cerr. y no encierra sing. de \underline{u} , $\int_C \underline{u} \cdot \underline{n} \, ds = \iint_S \underline{\nabla} \cdot \underline{u} \, dS$, siendo S la porción del plano encerrada por C ($simplmte\ conexa$). Es llamado el $\underline{m\acute{e}todo\ de\ integrales}$, y se usa si la integral doble $\iint_S \underline{\nabla} \cdot \underline{u} \, dS$ simplifica la del flujo $\int_C \underline{u} \cdot \underline{n} \, ds$ (o viceversa).
 - •<u>Ejemplos</u>: 1) $S = \text{círculo unidad del plano XY}, <math>\underline{u} = \underline{r}$;
 - 2) misma S, $\underline{u} = (1/\rho)\underline{e}_{\theta}$.
 - •si C no cerrada, de extr. A, B, se puede cerrar si conviene, mediante un tramo auxiliar C_1 (que una B con A por otro camino sencillo) y aplicar Green (Gauss) de nuevo a la región S encerrada entre C y C_1 , supuesta $simpl.\ conexa\ (intercamb.\ de\ caminos)$

$$\int_{\partial S} \underline{u} \cdot \underline{n} \, ds = \iint_{S} \underline{\nabla} \cdot \underline{u} \, dS = \int_{C} \underline{u} \cdot \underline{n} \, ds + \int_{C_{1}} \underline{u} \cdot \underline{n} \, ds$$

- •<u>Ejemplo</u>: 3) C es el arco de elipse $b^2x^2 + a^2y^2 = a^2b^2$ en el primer cuadrante y \underline{u} es el c.v. $\underline{\mathbf{g}}_{\theta}$ de la base polar del plano: se cierra por C_1 = unión de semiejes.
- •2) <u>cálculo de áreas</u> análogo a la forma de Stokes, con el *flujo plano* por el ∂S del campo auxiliar $\underline{B} = \frac{1}{2} \underline{r} = \frac{1}{2} (x \underline{\mathbf{i}} + y \underline{\mathbf{j}}) / \underline{\nabla} \cdot \underline{B} = 1$. Así, ... (completar como ejercicio)

5.2 c) Teorema de Stokes en el espacio

- <u>Definición</u>: <u>Casquete de superficie</u> S en \mathbb{E}_3 . Intuitivamente, un casquete de superficie S es toda porción de una superficie abarcada por una curva cerrada $C \subset S$, que se conoce como su <u>borde</u> y se representa por ∂S . Matemáticamente, S es la imagen de un dominio (cierre de una región o sea, adherencia de un abierto conexo), $\mathcal{D} \subset \mathbb{R}^2$, con borde una curva cerrada $\partial \mathcal{D}$ en \mathbb{E}_2 , mediante una aplicación biyectiva y de clase 1, $\sigma: \mathcal{D} \to S$, de manera que $\partial S = \sigma(\partial \mathcal{D})$ en \mathbb{E}_3 .
- Teorema (Stokes): Si S es un casquete de sup. reg. (a trozos) y simplemente conexo (sin agujeros), limitado por una única curva cerr. reg. (a trozos) $C = \partial S$ y si \underline{w} es un campo de clase 1 en una región Ω simpl. conexa entorno de S, entonces

 $\int_{S} (\nabla \times \underline{w}) \cdot \underline{N} \, dS = \oint_{\partial S} \underline{w} \cdot d\underline{r}$

recorriendo C en sentido positivo alrededor de la normal \underline{N} de S.

•<u>Ejemplos</u>: 1) Verificar el teorema para $\underline{w} = -y\mathbf{i} + x\mathbf{j} + z\mathbf{k}$ sobre el casquete S de $\{z = x^2 + y^2 \le 1\}$ / $\partial S = C = \{x = \cos(s), y = \sin(s), z = 1\}$.

- **<u>Demostración</u>**: Se reduce a la fórmula de Green cuando se desarrollan las dos integrales en términos de la superfície $S = \sigma(\mathcal{D})$ y de su borde $C = \partial S = \sigma(\partial \mathcal{D})$
- -1) El integrando de la integral de línea se desarrolla en la base de superficie:

$$\underline{w} \cdot \underline{dr} = [w_u(u,v)\underline{g}^u(u,v) + w_v(u,v)\underline{g}^v(u,v) + w_3(u,v)\underline{N}(u,v)] \cdot [\underline{g}_u(u,v)du + \underline{g}_v(u,v)dv] =$$

$$= w_u(u,v)du + w_v(u,v)dv := p(u,v)du + q(u,v)dv, \text{ donde: } p(u,v) := \underline{w} \cdot \underline{g}_u(u,v), q(u,v) := \underline{w} \cdot \underline{g}_v(u,v)$$

Así:
$$\oint_{\mathbb{R}^n} \underline{w} \cdot d\underline{r} = \oint_{\mathbb{R}^n} p(u, v) du + q(u, v) dv$$

Aplicando la fórmula de Green, se tiene: $\oint_{\partial \mathcal{D}} p(u,v) du + q(u,v) dv = \iint_{\mathcal{D}} \left(\frac{\partial q}{\partial u} - \frac{\partial p}{\partial v}\right) du dv$

-2) El integrando de la integral de superficie, por su parte es:

$$\underline{\nabla} \times \underline{w}(x, y, z) = \varepsilon_{ijk} \left(\partial w_i / \partial x_i \right) \underline{e}_k ; \underline{N} dS = \underline{r}'_u \times \underline{r}'_v du dv = \varepsilon_{mnh} \left(\partial x_m / \partial u \right) \left(\partial x_n / \partial v \right) \underline{e}_h du dv$$

luego:
$$\underline{\nabla} \times \underline{w}(x, y, z) \cdot \underline{N} dS = \varepsilon_{ijk} \varepsilon_{mnh} \delta_{kh} (\partial w_i / \partial x_i) (\partial x_m / \partial u) (\partial x_n / \partial v) du dv =$$

$$= \varepsilon_{ijh} \varepsilon_{mnh} (\partial w_j / \partial x_i) \partial x_m / \partial u) \partial x_n / \partial v) du dv = (\delta_{im} \delta_{jn} - \delta_{in} \delta_{jm}) (\partial w_j / \partial x_i) (\partial x_m / \partial u) (\partial x_n / \partial v) du dv = (\delta_{im} \delta_{jn} - \delta_{in} \delta_{jm}) (\partial w_j / \partial x_i) (\partial x_m / \partial u) (\partial x_n / \partial v) du dv = (\delta_{im} \delta_{jn} - \delta_{in} \delta_{jm}) (\partial w_j / \partial x_i) (\partial x_m / \partial u) (\partial x_n / \partial v) du dv = (\delta_{im} \delta_{jn} - \delta_{in} \delta_{jm}) (\partial w_j / \partial x_i) (\partial x_m / \partial u) (\partial x_n / \partial v) du dv = (\delta_{im} \delta_{jn} - \delta_{in} \delta_{jm}) (\partial w_j / \partial x_i) (\partial x_m / \partial u) (\partial x_n / \partial v) du dv = (\delta_{im} \delta_{jn} - \delta_{in} \delta_{jm}) (\partial w_j / \partial x_i) (\partial x_m / \partial u) (\partial x_n / \partial v) du dv = (\delta_{im} \delta_{jn} - \delta_{in} \delta_{jm}) (\partial w_j / \partial x_i) (\partial x_m / \partial u) (\partial x_n / \partial v) du dv = (\delta_{im} \delta_{jn} - \delta_{in} \delta_{jm}) (\partial w_j / \partial x_i) (\partial x_m / \partial u) (\partial x_n / \partial v) du dv = (\delta_{im} \delta_{jn} - \delta_{in} \delta_{jm}) (\partial w_j / \partial x_i) (\partial x_m / \partial u) (\partial x_n / \partial v) du dv = (\delta_{im} \delta_{jn} - \delta_{in} \delta_{jm}) (\partial w_j / \partial x_i) (\partial x_m / \partial u) (\partial x_n / \partial v) du dv = (\delta_{im} \delta_{jm} - \delta_{in} \delta_{jm}) (\partial w_j / \partial x_i) (\partial x_m / \partial u) (\partial x_m / \partial v) du dv = (\delta_{im} \delta_{jm} - \delta_{in} \delta_{jm}) (\partial w_j / \partial x_i) (\partial x_m / \partial u) (\partial x_m / \partial v) du dv = (\delta_{im} \delta_{jm} - \delta_{im} \delta_{jm}) (\partial w_j / \partial x_i) (\partial x_m / \partial u) (\partial x_m / \partial v) (\partial x_m / \partial v) (\partial x_m / \partial u) (\partial x_m / \partial$$

$$= (\partial w_{\rm n}/\partial x_{\rm m}) (\partial x_{\rm m}/\partial u) (\partial x_{\rm n}/\partial v) dudv - (\partial w_{\rm m}/\partial x_{\rm n}) (\partial x_{\rm m}/\partial u) (\partial x_{\rm n}/\partial v) dudv =$$

$$= \left[\left(\partial w_{n} / \partial u \right) \left(\partial x_{n} / \partial v \right) - \left(\partial w_{m} / \partial v \right) \left(\partial x_{m} / \partial u \right) \right] du dv = \left[\left(\partial \underline{w} / \partial u \right) \cdot \underline{g}_{v} - \left(\partial \underline{w} / \partial v \right) \cdot \underline{g}_{u} \right] du dv;$$

Pero:
$$\frac{\partial q}{\partial u} - \frac{\partial p}{\partial v} = \frac{\partial}{\partial u} \left(\underline{w} \cdot \underline{g}_{v} \right) - \frac{\partial}{\partial v} \left(\underline{w} \cdot \underline{g}_{u} \right) = \frac{\partial w}{\partial u} \cdot \underline{g}_{v} + \underbrace{w} \underbrace{\frac{\partial g}{\partial u}}_{\partial u} - \underbrace{\frac{\partial w}{\partial v}}_{\partial v} \cdot \underline{g}_{u} - \underbrace{w} \underbrace{\frac{\partial g}{\partial v}}_{\partial v} = \underbrace{\frac{\partial w}{\partial v}}_{\partial v} \cdot \underline{g}_{v} - \underbrace{\frac{\partial w}{\partial v}}_{\partial v} \cdot \underline{g}_{u}$$

y así:
$$\iint_{S} \underline{\nabla} \times \underline{w} \cdot \underline{N} \, dS = \iint_{\mathcal{D}} \left(\frac{\partial q}{\partial u} - \frac{\partial p}{\partial v} \right) du \, dv = \oint_{\partial \mathcal{D}} p(u, v) \, du + q(u, v) \, dv = \oint_{\partial S} \underline{w} \cdot d\underline{r}$$
 lo que prueba el teorema de Stokes. c.q.d. #.

• <u>Versión generalizada</u> para casquetes múltiplemente conexos es análoga a la versión del plano:

$$\int_{S} (\nabla \times \underline{u}) \cdot \underline{N} \, dS = \oint_{C_{1}} \underline{u} \cdot d\underline{r} + \oint_{-C_{2}} \underline{u} \cdot d\underline{r}$$

O sea: la fórmula integral permanece si

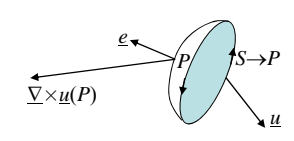
 $\partial S = C_1 + (-C_2)$ pues, unidas por un arco de corte k, \int_k se cancela por doble recorrido en sentido contrario, y, además, C_2 se debe recorrer en sentido contrario de C_1 (es análogo si hay más de un agujero).

- •Ejemplo: PR4.13b
- Observación: Se usa en la dem.: S es sup. reg. $S = \sigma(D) \Rightarrow \partial S = \sigma(\partial D)$ (σ es difeomorfismo) y resulta que S es simpl. conexo en $\mathbb{E}_3 \Leftrightarrow D$ es simplemente conexo en \mathbb{R}^2 (esto facilita argumentos para razonar)

•Aplicaciones y consecuencias del Th. de Stokes en E₃:

- Análogas a las que tiene en el plano, cambiando "recintos S limitados en el plano por una curva cerr. C" por "casquetes de superficie de borde una curv. $C = \partial S = \sigma(\partial D)$ ". Concretamente \rightarrow :
- 1. <u>Intercambio de integrales</u>: cálculo de *circulación* de \underline{u} sobre C mediante el *flujo* del $\underline{\nabla} \times \underline{u}$, eligiendo S adecuada / $\partial S = C$ y/o aprovechando la sencillez del $\underline{\nabla} \times \underline{u}$:
- 2. <u>Método de intercambio de caminos</u>: aunque no sean conservativos, los campos irrotacionales permiten *sustituir* una curva *C* por otra más sencilla *C** para calcular su circulación, aplicando la <u>versión</u> generalizada de Stokes:
 - Ejemplos (de los Apuntes):
 - Ej 5.2-11: Calcular $\int_C \underline{u} \cdot d\underline{r} \operatorname{con} \underline{u} = (1/\rho^2) \underline{\mathbf{g}}_{\theta}$ y $C : \{z = 4 - (x^2 + y^2)^{1/2}\} \cap \{z = \operatorname{sen} x\}$ (figura)
 - Ej. 5.2-12: Circulación de $\underline{u} = \underline{g}_{\theta}$ a lo largo del arco de hélice C: { $\rho = R$, $\theta = t$, z = 2t; $0 \le t \le \pi/2$ } aplicando el teorema de Stokes.
 - PR4.8

- 3. <u>Interpretación tensorial del rotacional</u>: significado de $\underline{\nabla} \times \underline{u}(P) \cdot \underline{e}$ como circulación de \underline{u} alrededor de P por unidad de $S \rightarrow P$ orientada según \underline{e} (promedio integral)
- •Así, $\nabla \times \underline{u}(P)$ es un campo tensorial de primer orden que actúa sobre los vectores orientación \underline{e} de $S \rightarrow P$ produciendo circulación por unidad de superficie $S \rightarrow P$ (promedio o valor unitario)



- si $\nabla \times \underline{u}(P) \neq \underline{0}$ proporciona, pues, la dirección \underline{e} en la que orientar S en P para obtener máxima circulación de \underline{u} alrededor de P.
 - •Ejemplo: El "eje" de un torbellino de viento es una línea de campo del rotacional de su campo de velocidades.
- Ejemplos:
 - •PR4: 4.8, 4.9, 4.11b, 4.23b

§5.2 d) Teorema de Gauss en el espacio in ales

d.1) Defs. previas: generalizaciones tridimens. de la conex. simple

- 1) Una <u>volumen</u> *acotado* y regular *V* se dice <u>retráctil</u> si su frontera topológica es una superficie cerrada regular (a trozos), *S*, que puede deformarse de modo continuo hasta contraerse a cualquiera de los puntos interiores de *V*. (obs.: la frontera de *V* es conexa, de una pieza, sin más bordes ni otros puntos interiores a *S*)
 - •se denota $S = \partial V$ (borde de V = frontera topológica); S es el único borde de V y suele decirse, intuitivamente, que V no contiene agujeros o burbujas, que aportarían borde interior a S.
- •2) Una región $\Omega \subset \mathbb{E}_3$ se dice *retráctil* si <u>toda</u> superficie cerrada regular (a trozos) $S \subset \Omega$ es borde de un volumen V *retráctil* (la región Ω más amplia a analizar en la práctica es el dominio de regularidad del campo \underline{u})

Para la demostración del teorema de Gauss se utilizan, además, regiones especiales: • 3) Un volumen V se dice una $\underline{región\ elemental\ simétrica}$ si se puede describir $\underline{simultáneamente}\ como\ \{(x,y,z):\ (x,y)\in D_3, f_3(x,y)\le z\le F_3(x,y)\}=\{(x,y,z):\ (y,z)\in D_1,\ f_1(y,z)\le x\le F_1(y,z)\}=\{(x,y,z):\ (x,z)\in D_2, f_2(y,z)\le y\le F_2(y,z)\}\ ,$ donde los D_i (proyecciones de V a los planos coordenados) son simplemente conexos.

NOTA: en la práctica, los volúmenes que se manejan son de este tipo o pueden descomponerse en uniones de volúmenes de este tipo.

<u>**d.2**) Enunciado Th. de Gauss</u>: Si $\underline{u}: \Omega \subset \mathbb{E}_3 \to \mathbb{V}_3$ es <u>de clase</u> <u>1 en Ω </u>, y $S = \sup$ cerr. reg. (a trozos) que encierra un volumen retráctil $V/S = \partial V \subset \Omega$ entonces

$$\iiint_{V} \underline{\nabla} \cdot \underline{u} \, dV = \oiint_{\partial V} \underline{u} \cdot \underline{N}_{\text{ext}} \, dS$$

es decir: el flujo de un campo regular \underline{u} al exterior de una superficie cerrada retráctil, $S = \partial V \subset \Omega$, es la acumulación de la divergencia de \underline{u} en el volumen V encerrado.

- •<u>Demostración</u>: i) en un paralelepípedo rectangular (ver <u>Apuntes</u>); ii) en un volumen *V* más general (una cara curvada); iii) caso general.
- *Versión generalizada*: Si V está entre dos superficies cerradas, S_1 y S_2 (no retráctil) aún se puede aplicar th. Gauss entendiendo $\partial V = S_1 + S_2$.

basta extraer de V un "tubo" (de radio $\varepsilon \rightarrow 0$) que conecte las dos superficies y aplicarlo al volumen V^* resultante: \underline{N}_2 deberá orientarse al interior de S_2 (exterior de V^*)

Demostración del Teorema de Gauss en \mathbb{E}_3

1) <u>Para un paralelepípedo</u> $V = [a_1, b_1] \times [a_2, b_2] \times [a_3, b_3]$. En cartesianas, con $\underline{w}(P) =$ $w_i \underline{e_i}$, se tiene, por una parte:

$$\iiint_{V} \underline{\nabla} \cdot \underline{w} dV = \int_{a_{1}}^{b_{1}} \int_{a_{2}}^{b_{2}} \int_{a_{3}}^{b_{3}} \left(\frac{\partial w_{1}}{\partial x} + \frac{\partial w_{2}}{\partial y} + \frac{\partial w_{3}}{\partial z} \right) dx dy dz = \int_{a_{2}}^{b_{2}} \int_{a_{3}}^{b_{3}} \left(w_{1}(b_{1}, y, z) - w_{1}(a_{1}, y, z) \right) dy dz + \frac{\partial w_{2}}{\partial z} \int_{a_{3}}^{b_{3}} \left(w_{1}(b_{1}, y, z) - w_{1}(a_{1}, y, z) \right) dy dz + \frac{\partial w_{2}}{\partial z} \int_{a_{3}}^{b_{3}} \left(w_{1}(b_{1}, y, z) - w_{1}(a_{1}, y, z) \right) dy dz + \frac{\partial w_{2}}{\partial z} \int_{a_{3}}^{b_{3}} \left(w_{1}(b_{1}, y, z) - w_{1}(a_{1}, y, z) \right) dy dz + \frac{\partial w_{2}}{\partial z} \int_{a_{3}}^{b_{3}} \left(w_{1}(b_{1}, y, z) - w_{1}(a_{1}, y, z) \right) dy dz + \frac{\partial w_{2}}{\partial z} \int_{a_{3}}^{b_{3}} \left(w_{1}(b_{1}, y, z) - w_{1}(a_{1}, y, z) \right) dy dz + \frac{\partial w_{2}}{\partial z} \int_{a_{3}}^{b_{3}} \left(w_{1}(b_{1}, y, z) - w_{1}(a_{1}, y, z) \right) dy dz + \frac{\partial w_{2}}{\partial z} \int_{a_{3}}^{b_{3}} \left(w_{1}(b_{1}, y, z) - w_{1}(a_{1}, y, z) \right) dy dz + \frac{\partial w_{2}}{\partial z} \int_{a_{3}}^{b_{3}} \left(w_{1}(b_{1}, y, z) - w_{1}(a_{1}, y, z) \right) dy dz + \frac{\partial w_{2}}{\partial z} \int_{a_{3}}^{b_{3}} \left(w_{1}(b_{1}, y, z) - w_{1}(a_{1}, y, z) \right) dy dz + \frac{\partial w_{2}}{\partial z} \int_{a_{3}}^{b_{3}} \left(w_{1}(b_{1}, y, z) - w_{2}(a_{1}, y, z) \right) dy dz + \frac{\partial w_{2}}{\partial z} \int_{a_{3}}^{b_{3}} \left(w_{1}(b_{1}, y, z) - w_{2}(a_{1}, y, z) \right) dy dz + \frac{\partial w_{2}}{\partial z} \int_{a_{3}}^{b_{3}} \left(w_{1}(b_{1}, y, z) - w_{2}(a_{1}, y, z) \right) dy dz dz + \frac{\partial w_{2}}{\partial z} \int_{a_{3}}^{b_{3}} \left(w_{1}(b_{1}, y, z) - w_{2}(a_{1}, y, z) \right) dy dz dz dz$$

$$+ \int_{a_1}^{b_1} \int_{a_3}^{b_3} (w_2(x, b_2, z) - w_2(x, a_2, z)) dxdz + \int_{a_1}^{b_1} \int_{a_2}^{b_2} (w_3(x, y, b_3) - w_3(x, y, a_3)) dxdy$$

y por otro lado

$$\oint_{\partial V} \underline{w} \cdot \underline{N}_{\text{ext}} \, dS = \dots = \int_{a_1}^{b_2} \int_{a_3}^{b_3} w_1(b_1, y, z) \, dy \, dz - \int_{a_2}^{b_2} \int_{a_3}^{b_3} w_1(a_1, y, z) \, dy \, dz + \dots = \int_{a_2}^{b_2} \int_{a_3}^{b_3} w_1(a_1, y, z) \, dy \, dz + \dots = \int_{a_2}^{b_2} \int_{a_3}^{b_3} w_1(b_1, y, z) \, dy \, dz - \dots = \int_{a_2}^{b_2} \int_{a_3}^{b_3} w_1(b_1, y, z) \, dy \, dz - \dots = \int_{a_2}^{b_2} \int_{a_3}^{b_3} w_1(b_1, y, z) \, dy \, dz - \dots = \int_{a_2}^{b_2} \int_{a_3}^{b_3} w_1(b_1, y, z) \, dy \, dz - \dots = \int_{a_2}^{b_2} \int_{a_3}^{b_3} w_1(b_1, y, z) \, dy \, dz - \dots = \int_{a_2}^{b_2} \int_{a_3}^{b_3} w_1(b_1, y, z) \, dy \, dz - \dots = \int_{a_2}^{b_2} \int_{a_3}^{b_3} w_1(b_1, y, z) \, dy \, dz - \dots = \int_{a_2}^{b_2} \int_{a_3}^{b_3} w_1(b_1, y, z) \, dy \, dz - \dots = \int_{a_2}^{b_2} \int_{a_3}^{b_3} w_1(b_1, y, z) \, dy \, dz + \dots = \int_{a_2}^{b_2} \int_{a_3}^{b_3} w_1(b_1, y, z) \, dy \, dz + \dots = \int_{a_2}^{b_2} \int_{a_3}^{b_3} w_1(b_1, y, z) \, dy \, dz + \dots = \int_{a_2}^{b_2} \int_{a_3}^{b_3} w_1(b_1, y, z) \, dy \, dz + \dots = \int_{a_2}^{b_2} \int_{a_3}^{b_3} w_1(b_1, y, z) \, dy \, dz + \dots = \int_{a_2}^{b_2} \int_{a_3}^{b_3} w_1(b_1, y, z) \, dy \, dz + \dots = \int_{a_2}^{b_2} \int_{a_3}^{b_3} w_1(b_1, y, z) \, dy \, dz + \dots = \int_{a_2}^{b_2} \int_{a_3}^{b_3} w_1(b_1, y, z) \, dy \, dz + \dots = \int_{a_2}^{b_2} \int_{a_3}^{b_3} w_1(b_1, y, z) \, dy \, dz + \dots = \int_{a_2}^{b_2} \int_{a_3}^{b_3} w_1(b_1, y, z) \, dy \, dz + \dots = \int_{a_2}^{b_2} \int_{a_3}^{b_3} w_1(b_1, y, z) \, dy \, dz + \dots = \int_{a_2}^{b_2} \int_{a_3}^{b_3} w_1(b_1, y, z) \, dy \, dz + \dots = \int_{a_2}^{b_3} \int_{a_3}^{b_3} w_1(b_1, y, z) \, dy \, dz + \dots = \int_{a_2}^{b_3} \int_{a_3}^{b_3} w_1(b_1, y, z) \, dy \, dz + \dots = \int_{a_2}^{b_3} \int_{a_3}^{b_3} w_1(b_1, y, z) \, dy \, dz + \dots = \int_{a_2}^{b_3} \int_{a_3}^{b_3} w_1(b_1, y, z) \, dy \, dz + \dots = \int_{a_3}^{b_3} \int_{a_3}^{b_3} w_1(b_1, y, z) \, dy \, dz + \dots = \int_{a_3}^{b_3} \int_{a_3}^{b_3} w_1(b_1, y, z) \, dy \, dz + \dots = \int_{a_3}^{b_3} \int_{a_3}^{b_3} w_1(b_1, y, z) \, dy \, dz + \dots = \int_{a_3}^{b_3} \int_{a_3}^{b_3} w_1(b_1, y, z) \, dy \, dz + \dots = \int_{a_3}^{b_3} \int_{a_3}^{b_3} w_1(b_1, y, z) \, dz + \dots = \int_{a_3}^{b_3} \int_{a_3}^{b_3} w_1(b_1, y, z) \, dz + \dots = \int_{a_3}^{b_3} \int_{a_3}^{b_3} w_1(b_1, y, z) \, dz + \dots = \int_{a_3}^{b_3} \int_$$

$$+ \int_{a_1}^{b_1} \int_{a_3}^{b_3} w_2(x, b_2, z) dx dz - \int_{a_1}^{b_1} \int_{a_3}^{b_3} w_2(x, a_2, z) dy dz + \dots$$
 (el resto, análogas)

lo que conduce a las mismas integrales dobles anteriores y prueba el teorema.

2) Para regiones elem. simétricas, la demostración se descompone en tres pasos,

$$\iiint_V \frac{\partial w_3}{\partial z} dV = \iint_D \left[\int_{f_2(x,y)}^{F_3(x,y)} \frac{\partial w_3}{\partial z} dz \right] dx dy = \iint_D \left[w_3(x,y,F_3) - w_3(x,y,f_3) \right]$$

$$\iint_{\partial V} w_3 \underline{\mathbf{k}} \cdot \underline{N} dS = \iint_{\{z = E_1(x, y)\}} w_3 \underline{\mathbf{k}} \cdot \underline{N}_{F_3} dS + \iint_{\{z = E_2(x, y)\}} w_3 \underline{\mathbf{k}} \cdot \underline{N}_{F_3} dS$$

$$\iint_{\partial V} w_3 \underline{\mathbf{k}} \cdot \underline{N} dS = \iint_{\{z = F_3(x, y)\}} w_3 \underline{\mathbf{k}} \cdot \underline{N}_{F_3} dS + \iint_{\{z = f_3(x, y)\}} w_3 \underline{\mathbf{k}} \cdot \underline{N}_{f_3} dS$$
Pero $\underline{N}_{F_3} dS = \left(-F_{3 \ x}' \underline{\mathbf{i}} - F_{3 \ y}' \underline{\mathbf{j}} + \underline{\mathbf{k}} \right) dx dy, \underline{N}_{f_3} dS = \left(f_{3 \ x}' \underline{\mathbf{i}} + f_{3 \ y}' \underline{\mathbf{j}} - \underline{\mathbf{k}} \right) dx dy$

luego $\iint_{\partial V} w_3 \underline{\mathbf{k}} \cdot \underline{N} dS = \iint_{D_3} w_3(x, y, F_3) dx dy - \iint_{D_3} w_3(x, y, f_3) dx dy$

c.q.d.

d.3) Aplicaciones del th. de Gauss: Cálculo de flujos

- Intercambio de integrales:
 - 1. Cálculo de flujos a través de sup. cerradas mediante la int. de vol. de la divergencia.
 - 2. Cálculo de flujos a través de casquetes de superficie S eligiendo V adecuado (p. ej. cerrando S con una superf. auxiliar S_1).

<u>Ejemplo</u>: Flujo de $\underline{y} = (z - 1)(xy^2) + \underline{\mathbf{k}}$ a través del casq. de paraboloide ${z = x^2 + y^2, 0 \le z \le 1}$ (PR4.10b)

Ejemplo: PR4.11a, PR4.12.

- *Intercambio de superficies*: aplicando la versión generalizada del teorema para c. v. <u>u</u> adivergentes a vol. V con burbujas (p.ej., eligiendo una sup. S^* auxiliar, sencilla, encerrada por la S dada y tomando el V comprendido entre ambas): $\int_{S} \underline{u} \cdot .. = \int_{S^*} \underline{u} \cdot ..$
- 3. <u>Cálculo de volúmenes</u> reg. mediante *flujo* de \underline{r} (pues $\underline{\nabla} \cdot \underline{r} = 3$):

$$\operatorname{Vol}(V) = \int_{V} (\underline{\nabla} \cdot 1/\sqrt{2} \underline{r}) dV = 1/\sqrt{2} \int_{S} \underline{r} \cdot \underline{N}_{\text{ext}} dS \text{ siendo } S = \partial V.$$

Ejemplos: Flujo de $\underline{\mathbf{f}} = \underline{r}/r^3$ al exterior del elipsoide $x^2/4 + y^2/9 + z^2/16 = 1$. PR4.23a, 4.26b, 4.27c.

N.: el método se puede aplicar también a campos que no sean adivergentes

4. Significado físico de la divergencia de un campo vect.

Se aplica el th. de Gauss a $V \rightarrow P$ y la propiedad del promedio a la integral de superficie y se concluye :

$$\underline{\nabla} \cdot \underline{u}(P)$$
 = flujo exterior por unidad de volumen $V \rightarrow P$.

ya que:
$$\int_{V} \underline{\nabla} \cdot \underline{u} \, dV = (\text{t.v.m. & } V \to P) = \underline{\nabla} \cdot \underline{u}(P) \, |V| = (\text{t. Gaus}) = \int_{\partial V} \underline{u} \cdot \underline{N}_{\text{ext}} \, dS$$

- <u>Ejemplo</u>: En el movimiento de un fluido *gaseoso* la divergencia del campo de velocidades es *positiva* en las regiones en que el fluido se *expande* o descomprime; mientras que es *negativa* en la regiones en que el fluido se *comprime* o presuriza. En cambio, es *adivergente* el fluir de un líquido.
- Ejemplos:

Calcular el volumen del toro de radios *a*, *b* aplicando el teorema de Gauss. PR4: puede hacerse el apartado b) y algunos apartados de ejercicios del apartado c).